

# 氣·固系 流動層內 氣體 및 粒子의 動

南宮寔，柳慶玉\*

(1965. 3. 26. 受理)

## The Movement of Fluidizing Gas and Particle in the Gas-Solid Fluidized Bed.

Shik Namkoong and Kyong Ok Yoo

Dept. of Chem. Eng., College of Eng., Ilan yang Univ.

In order to determine the mechanism of heat transfer of the fluidized bed, the movement of fluidizing gas bubbles were inspected by means of tracer technique, and the fluidization quality including bubble frequency and number of density fluctuation per unit time were measured by the leak current method in the gas-solid fluidized bed.

Of the movement of gas bubbles, very little amount of gas is exchanged through the opening hole of vertical intermediate wall, especially when linear velocity is several times larger than that of incipient fluidization, the flow pattern of gas is plug flow. And when linear velocity is larger than 20 cm/sec, the flow pattern does not change considerably.

The movement of fluidized particles, the packet diameter is calculated by bubble frequency per unit time, and the conception of packet defined by Mickley and Fairbanks<sup>1)</sup> will enable a qualitative treatment.

So far as examined with the experimental data on the heat transfer coefficient, the rate of solid mixing, and with the number of density fluctuation per unit time, the mechanism of heat transfer proposed by Mickley and Fairbank is found to be reasonable.

### 緒論

本實驗者等은 流動層의 热傳達機構를 光明하기 為해서, 氣泡層, 氣液固系 流動層, 그리고 氣固系 流動層에 對해서, 이들 層內에 插入한 傳熱體의 表面과 流動層間에 總括熱傳達係數를 測定하여 報告<sup>1), 2)</sup>하였고, 南宮·鄭等은 氣固系 流動層內 粉粒體의 混合速度에 關한 報告<sup>3)</sup>를 한 바 있다.

\* 漢陽大學校 工科大學 化工學科

이에 依하면, 热傳達係數는 靜止層이나 流動化物質自體에 對한 積보다 數倍 대지 數拾倍의 大 값을 나타냈으며, 流動層內 隔壁의 開孔을 通한 粉粒體의 混合速度는 流動化 gas 的 通氣速度  $u_o = 5 \sim 25 \text{ cm} \cdot \text{sec}^{-1}$  에서 變化될 때  $3 \sim 40 \text{ kg} \cdot \text{m}^{-2} \cdot \text{sec}^{-1}$ 로相當히 좋은結果를 보였다. 또한  $u_t > u_o > 20 \text{ cm} \cdot \text{sec}^{-1}$ 에서는 热傳達係數나 混合速度가 共히 通氣速度에 無關하게 一定量을 나타내었다.

氣固系 流動層內 粒子와 氣體의 動的測定에 對해

서는 南宮<sup>4)5)</sup>, 小林晴夫<sup>7)</sup>, 古尾谷逸生<sup>8)</sup>等이 研究한바 있다.

本研究者は 위와 같은 流動層의 特性이 根本的으로는 流動化 物質이나 流動化 gas의 動에 依存될 것이라는 點에着眼하여, 또한 流動觸媒反應에서 要求되는 氣體의 piston flow 性이 있나를 밝히기 為해서, 氣固系 流動層 内에서 tracer technique를 써서 gas chromatograph로 impulse 應答을 check 하여 氣體의 動을 檢知하고, leak-current method<sup>4)5)6)</sup>를 써서 얻는 各種

의 流動化 狀態에 關한 示數(index)로써 粒子의 動을 追求하여 이것이 流動層의 热特性이나 混合特性과 어떠한 關係가 있나를 밝혀보려는 目的으로 實驗을 行하였다.

### 實驗裝置

實驗裝置가 Fig. 1에 보여졌는데, 管徑 8cm $\phi$ , 管의 길이가 40cm의 洋鐵材로 된 두 개의 圓筒을 나란히 直立시키고, 두 column 사이에 孔徑 1.4cm $\phi$ 의 hole

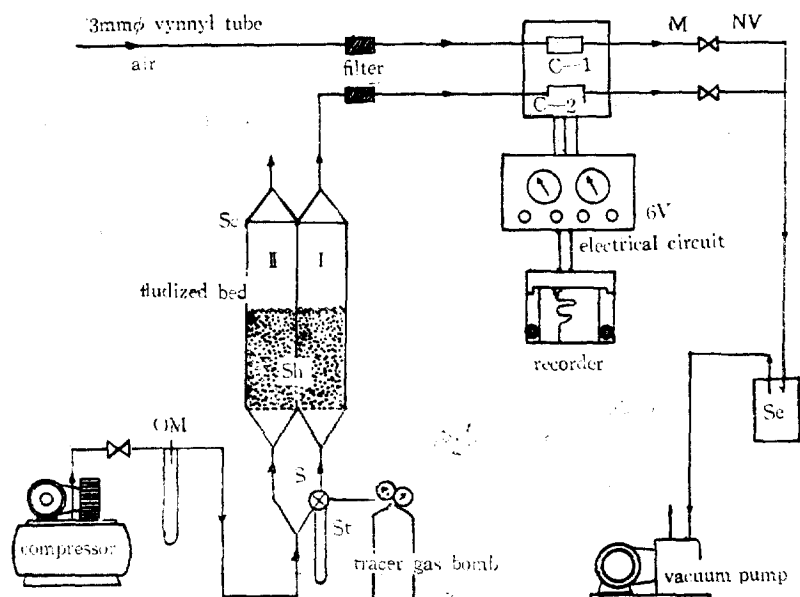


Fig. 1. Schematic Diagram of Experimental Apparatus

c-1; Reference cell  
c-2; Sensitive cell  
M; Manometer

S; Sampling switch  
Sc; Sampling cap  
Se; Suction tube

OM; Orifice manometer  
Sh; Shutter  
NV; Needle valve  
St; Sampling tube

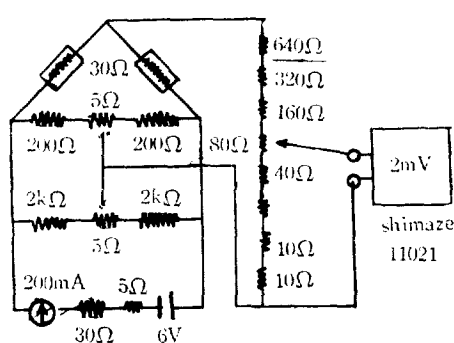


Fig. 2. Electrical Bridge of Gas Chromatograph

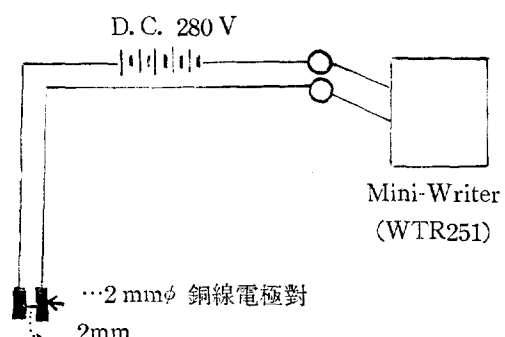


Fig. 3. 粒子運動検知器回路図

Table 1. Tracer Gas 와 Bed 의 種類

| tracer gas                     | bed 의 種類                    | 充 填 物                                     |                        |     | umf<br>[cm·sec <sup>-1</sup> ] |
|--------------------------------|-----------------------------|---|------------------------|-----|--------------------------------|
|                                |                             | 成 分                                       | size                   | 層 高 |                                |
| He<br>(40cc)                   | Neobead fluidized bed       | Neobead (370g)                            | 60~80 mesh             | 8cm | 1.50                           |
|                                | Neobead fluidized mixed bed | Neobead (370g)과 Raschig ring (210g)       | 60~80 mesh<br>5mmφ×6mm | 9cm | 0.85                           |
| He or H <sub>2</sub><br>(40cc) | Sand fluidized bed          | Standard sand (500g)                      | 40~60 mesh             | 8cm | 7.00                           |
|                                | Sand fluidized mixed bed    | Standard sand (500g)과 Raschig ring (210g) | 40~60 mesh<br>5mmφ×6mm | 9cm | 5.20                           |
| H <sub>2</sub> (40cc)          | Fixed bed                   | Raschig ring (360g)                       | 5mmφ×6mm               | 8cm |                                |

을 뜯어서 流動化 粉體나 氣體가 이 hole 을 通해서 自由로히 往來할 수 있도록 하였다. 이 裝置에서 두 개의 column 을 쓴 것은, 氣體의 動檢知方法으로 使用된 tracer technique 에 있어서 tracer gas 를 한 column 에만 넣어주는 것이 有利하기 때문이다. 또한 一定量의 tracer gas 를 넣어주기 위하여, 氣體分散板에서 50 cm 下部의 流動化 gas 流通 pipe 에 容量 40cc 인 sampling 切換 switch 를 裝置했고, 流動層內 兩 column 사이의 分流比를 調査할 때는 Fig. 1에 Sc로 표시된 sampling cap 을 썼고, 層內 局所的 氣體運動을 檢知하는 管徑 0.4cmφ, 길이 80cm 的 sampling pipe 를 使用하였다.

이 實驗에 使用하기 為해서 本研究者等이 組立한 gas chro-circuit 가 Fig. 2에 보여졌으며, SHIMADZU 製 recorder(電壓差 2mV, Shimadzu 11, 021)를 使用하였다.

한편, 流動化 粒子運動 檢知器로는 直徑 0.2cmφ(銅線), 兩 極사이의 거리 0.2cm 인 電極對에 印加電壓 D.C. 280 volt 를 걸어서, 粒子가 兩 電極사이를 連結시킬 때 消失되는 電流를 WATANABE 製 Mini-Writer (WTR 251)로써 記錄하였다. Fig. 3에 이를 나타낸다.

### 實驗方法

#### (1) Column I에서 隔壁의 開孔을 通해서 Column II로 移動되는 Tracer 量 調査.

南宮·鄭<sup>2)</sup> 等은 流動化되고 있는 粉粒體는 層을 分斷하고 있는 隔壁의 開孔을 通해서 잘 混合되고 있음을 밝혔다.

이에 대해서 流動化 gas 는 이 開孔을 通해서 어떻게 움직이고 있으며, 또한 이러한 氣體의 움직임과 氣體의 層內 滞留時間이 流動化粉體의 種類에 따라 어떻게 變化되고 있나를 Table 1에 例示된 流動層에 對해서 밝히고자 한다.

實驗方法으로는, 첫째로 兩 column 사이의 開孔을 閉하고 column I 流動層內에 流動化 gas(dry air 20°C)와 함께 瞬時的으로 tracer gas 를 넣어서 이때

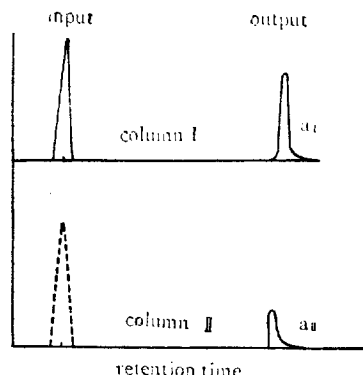


Fig. 4. Analytical Pattern of Peak

gas chro-recorder에 나타난 peak의 面積을  $a_1$  이라하고, 같은 流動化 狀態에서 column I에 同量의 tracer gas를 넣어 이 中에서 column II로 移動되어가는 tracer 量을 recording 하여 그 peak 面積을  $a_2$  를 할 때, 이 두 面積의 百分率로서 data를 整理하였다.

또한 retention time은 pulse를 넣어 준 時刻부터 應答인 peak가 最大인 點에 해당하는 時間까지로 計算하였는데, 이를 Fig. 4에 例示한다.

Gas chromatography 動作에 있어서는, 첫째로, sensitive cell side의 流速이 應答에 미치는 影響을 調査하기 為하여 流速을 50~200cc·min<sup>-1</sup>에서 變化시켜 본 結果, 100 cc·min<sup>-1</sup> 일 때에 應答狀態가 거의 一定하게 나타내어, 本 實驗에 있어서 sensitive cell의 流速은 100 cc·min<sup>-1</sup>로 固定시켰다.

둘째, reference cell의 流速은 20~100 cc·min<sup>-1</sup> 사이에서 變化시켜 보았는데, 이 reference side의 流速 變化에 依한 應答의 影響은 別로 찾을 수 없음으로 reference cell의 流速은 40 cc·min<sup>-1</sup>로 固定해서 實驗을 行하였다.

셋째, recorder의 chart speed는  $5 \text{ mm} \cdot \text{min}^{-1}$  으로 행했으며, 다음에 說明하는 局所的 氣體運動을 調査할 때는  $20 \text{ mm} \cdot \text{min}^{-1}$  로 하였다.

Peak의 面積計算에는 梯形法을 썼다.

### (2) 局所的 氣體의 動動

管徑  $0.4\text{cm}^{\phi}$ , 길이  $80\text{cm}$  의 銅 sampling pipe 를 層의 各部와 層上에 固定시켜 놓고 通氣速度變化에 따른 peak 變化를 recording하여, 이 peak 面積으로서 氣體의 動動을 推算하여 이를 傳熱機構에 應用시키려는 것이다.

### (3) 局所的 粒子運動 檢知

局所的 粒子運動 檢知는, 물론 同時に 이 流動層內의 热傳達係數를 測定하기 為하여, 裝置로 부터 gas-chro. 裝置를 除去하고, column I 에는 傳熱體를, column II 에는 Fig. 3에 보인 電極對를 넣어, 粉粒體와 氣體가 開孔을 通하여 往來하는 狀態에서 粒子運動 檢知와 热傳達係數를 同時に 測定하였다.

粒子運動 解析의 한 方法으로 南宮<sup>6)</sup> 은 다음과 같은 것을 提議하였다.

Mini-writer recorder에 記錄된 peak 形을 Fig. 5에 表示했는데,

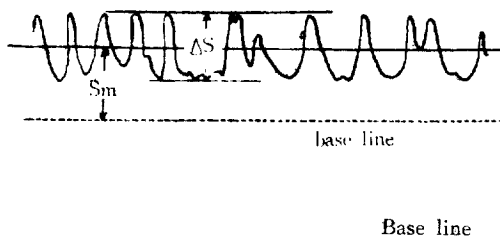


Fig. 5. Analytical Pattern of Mini-Writer Peak

Fig. 5에서,

$\triangle S$ ; peak의 最少值와 最大值의 差.

$S_m$ ; 基線에서 peak 中心線까지의 距離.

$n_i$ ; 1 sec 동안의 粒子의 振動數

라 할 때, slugging index,  $C_s$ , velocity index(速度示數),  $\Omega$ , mixing index(混合示數),  $\Omega^*$ , 를 다음과 같이 定義하였다.

$$C_s = \frac{\sigma_t}{n_m} \quad [-] \quad (1)$$

$$\Omega = \left( \frac{\triangle S}{S_m} \right) n_m \quad [\text{sec}^{-1}] \quad (2)$$

$$\Omega^* = \left( \frac{\triangle S}{S_m} \right) \left( \frac{n_m}{\sigma_t} \right) \quad [-] \quad (3)$$

여기서,

$$n_m = \frac{1}{20} \sum_{i=1}^{20} n_i \quad [\text{sec}^{-1}]$$

$$\sigma_t = \sqrt{\frac{1}{20} \sum_{i=1}^{20} (n_i - n_m)^2}$$

즉 이와같은 index(示數)들을 써서 粒子運動을 半定量的으로追求하였다.

## 實驗結果 및 考察

### (1) Column I에서 開孔을 通過해서 Column II로 移動되어 나가는 Tracer量 調査

Table 1에 表示된 各 bed에 對해서, tracer 가 column I에서 column II로 移動되어 나가는 量이 어떠한 結果로 나타나며, 또 이 column II로 移動되어 나가는

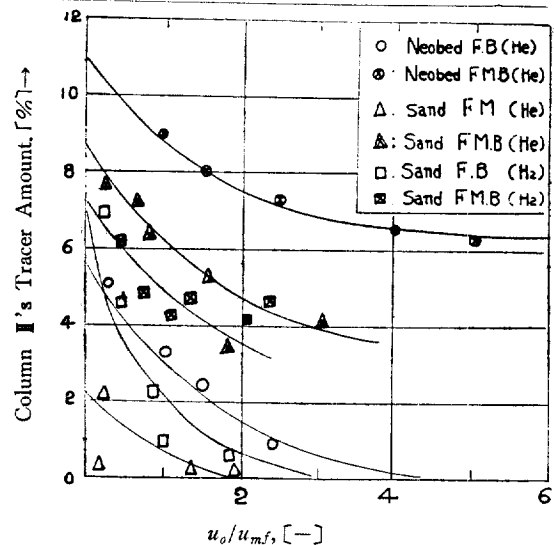


Fig. 6. Tracer Amount of Column II vs  $u_o/u_mf$

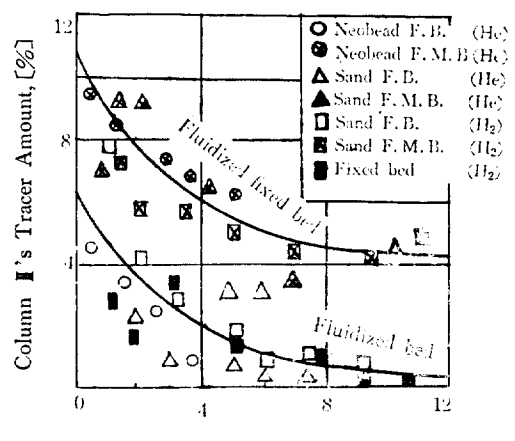


Fig. 7. Tracer Amount of Column II vs  $u_o$

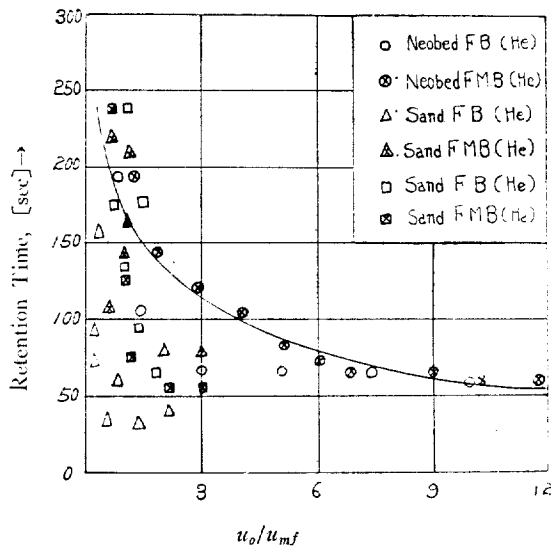


Fig. 8. Retention Time of Tracer Gas vs  $u_o/u_{mf}$

tracer 量이 粉體 또는 充填物에 依해서 어떤 影響이 있나를 밝히기 爲해서, Fig. 6에는 column II에서 check 되는 tracer 量 對  $u_o/u_{mf}$ 로 plot 하였다. Fig. 8에서 보는 바와 같이 어떤 一定한 경향을 찾을 수 없는 고로, Fig. 7에  $u_o/u_{mf}$  대신  $u_o$ 에 對해서 表示하였다. 여기에서 보면, column II에서 check 되는 tracer 量은 通氣速度  $u_o$ 에 依해서 一定한 경향을 나타내고 있다.

다음 tracer gas의 層內 retention time 을 Fig. 8에  $u_o/u_{mf}$ 에 對해서, 그리고 Fig. 9에는  $u_o$ 에 對해서 plot 했는데, 이 경우도 tracer gas 量에 對한 경우와 마찬가지로  $u_o/u_{mf}$ 와의 關係에서 각 bed마다 多樣性을 나타내나  $u_o$ 와의 plot에서는 모든 bed가 다 같은 경향을 나타내고 있다. Fig. 9에 點線으로 표시된 것이 計算된 retention time 인데 實測值에 거의 接近한다. 즉 通氣速度  $u_o$ 가 적은 부분에서 fluidized bed의 경우에接近하고  $u_o$ 가 큰 경우에는 fluidized mixed bed 경우接近한다. 이와같이 Fig. 6 와 Fig. 7 그리고 Fig. 8 와 Fig. 9 을 比較하여 볼 때 流動層內의 隔壁의 開孔을 通過한 氣體의 混合이라든지 그의 retention time 은 流動化 物質에 對한 影響보다는 流動化에 參여하는 氣體의 線速에 依한 影響이 支配의이라는 것을 알 수 있다.

지금  $f$ 를 流動化 gas의 分流比(fractional flow ratio of fluidizing gases)라 하여 다음과 같이 定義할 때

$$f = \frac{a_1}{a_2} \quad [-] \quad (4)$$

여기서,

$a_1$ : 兩 column 사이의 隔壁의 開孔을 閉합 때 column I에서 check 되는 peak 面積, [cm<sup>2</sup>]

$a_2$ : 兩 column 사이의 隔壁의 開孔을 打開할 때 column II에서 check 되는 peak 面積, [cm<sup>2</sup>]

Neobead fluidized bed 와 sand fluidized bed에 對한 分流比  $f$ 와 混合速度  $W_m$ 과의 關係를 Fig. 10에 plot

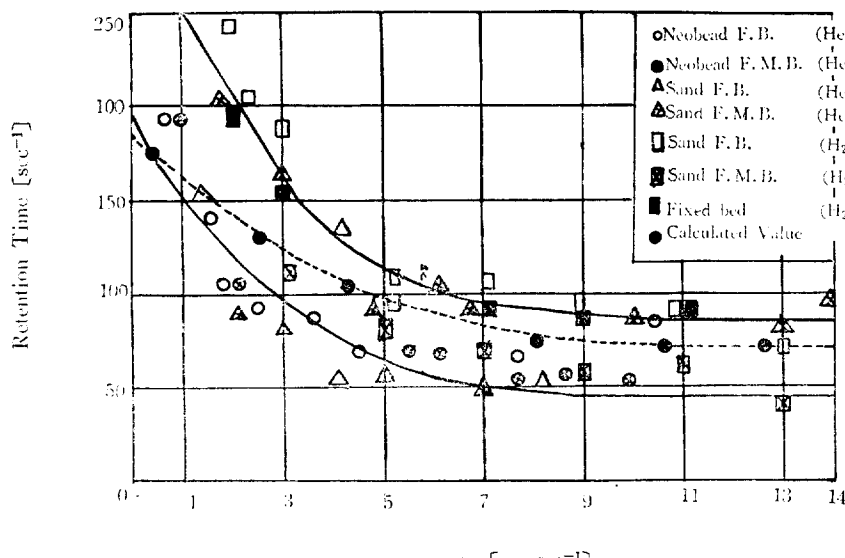


Fig. 9. Retention Time of Tracer Gas vs  $u_o$

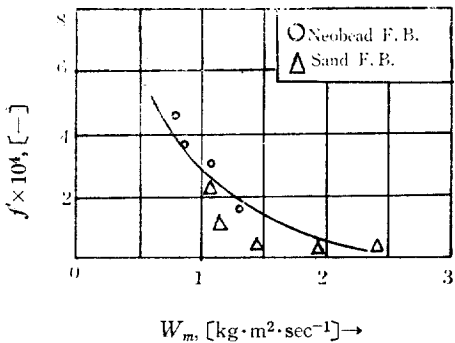


Fig. 10. Fractional Flow Ratio( $f$ ) vs Rate of Mixing ( $W_m$ )

했는데  $W_m=3$  以上에서는  $f$ 는 zero에 가깝다.  $W_m=3$  이면 대략  $u_o=u_{mf}=2$  以下인데 實際 流動化 操作에서는  $u_o/u_{mf}=10$  以上에서 動作하므로 이러한 경우開孔을 通해서 移動되는 氣體의 影響은 別로 없고 氣體는 단지 piston flow 역할만 하는 것이다.

그러나 fluidized mixed bed에서는 流動層의 경우보다 分流比  $f$ 가 상당히 크므로 飼媒를 수반하는 流動反應에 있어서는 fluidized mixed bed를 쓰는 것이 유리할 것이다.

### (2) 局所的 氣體舉動

$u_o=10 \text{ cm} \cdot \text{sec}^{-1}$  以下에서는 層內 어느 部分에서나 check 되는 tracer量은 同一速度에 對해서 變化가 없으나  $\delta_o$ 가 커짐에 따라 層의 中心部分이 管壁附近에서 보다 많은 量이 check 되는 것을 알 수 있었다. 既報한 流動層內 熱傳達係數 測定<sup>1)</sup>에서 層內의 局所的 热分布를 밝힐 때 管壁附近을 除外하고 同一速度에 對해서 層內各部分의 熱傳達係數가 同一值를 나타내어 通氣

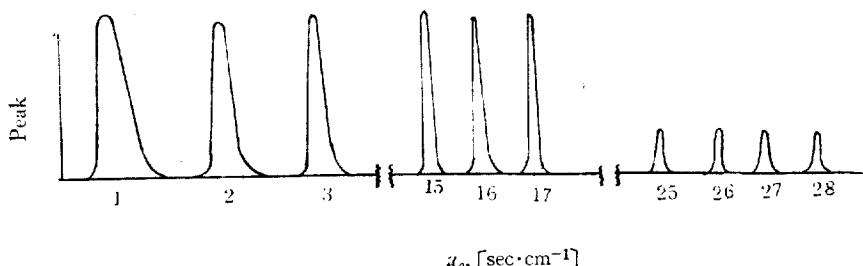


Fig. 11. Peak's Form

速度가 같다면 層內 어느 部分에서든지 같은 熱傳達이 일어날 것이라는 結論이 나왔는데, 氣體의 舉動이  $U_o = 10 \text{ cm} \cdot \text{sec}^{-1}$  以上에서는  $\frac{r}{R}=4$  인 부분이 나머지 部분보다 현저히 다른 點으로 미루어 보아 이때의 熱傳達도 달라 질 것으로 생각된다.

다음은 層의 中心線上에 sampling pipe를 固定시켜 놓고 通氣速度  $u_o$ 를 變化시킬 때  $u_o$ 가 增加함에 따라 peak의 面積은 점점 감소하나  $u_o=20 \text{ cm} \cdot \text{sec}^{-1}$  以上에서는 거의一定한 크기를 나타내고 있다.

이것은 熱傳達係數가  $u_o=20 \text{ cm} \cdot \text{sec}^{-1}$  以上에서一定值得를 나타내는 것과相通하는 것으로 다음과 같이 설명할 수 있을 것이다.

小林晴夫<sup>7)</sup>等에 依하면 流動層內 氣泡群의 一部는

本來의 流速과 같은 速度로 層위로 上昇하고 나머지 氣泡群이 合流 내지 成長하여 本來의 速度보다 더 빠른 速度로 層을 pass한다고 報告하였다. 이러한 點을 考察해 볼 때 氣體가 流動化에 크게 기여하는 境遇는 氣泡가 成長할 때 일어나는 것으로 생각되는데  $u_o$ 가  $20 \text{ cm} \cdot \text{sec}^{-1}$  以上에서는 通氣量增加에 關係없이 成長하는 氣泡群은 항상一定하고 大部分의 氣泡群이 그대로 層中을 pass 해 나가므로 流動化 狀態는  $u_o$ 의 增加에도 不拘하고一定하게 되며 이 結果로 tracer gas의 peak나 熱傳達係數 그리고 混合速度가 一定值를 나타내는 것으로 간주된다.

### (3) 粒子 舉動 檢知

Fig. 12에는 粒子의 振動數  $n_m$ 을 종축으로 그리고 通氣速度를 橫축으로 plot 했으며, Figs 13, 14, 15에는 (1), (2), (3)式에 依해서 얻어진 slugging index, vel-

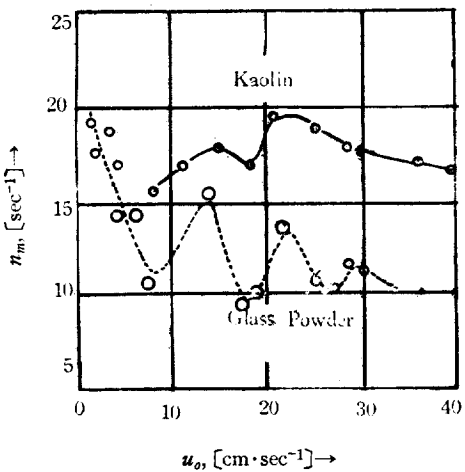


Fig. 12.  $n_m$  vs  $u_o$

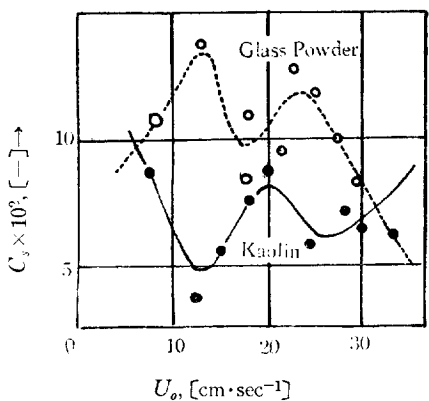


Fig. 13. Slugging Index vs  $u_o$

velocity index, mixing index 가 각각  $u_o$ 에對해 plot 되었다. 이實驗에서本研究者は熱傳達係數가通氣速度增加에 따라增加하다가  $u_o=20\text{ cm}\cdot\text{sec}^{-1}$ 以上에서는一定值를 나타내는理由가이들index와도 어떤關係성이있기를기대하였으나그러한경향은찾을수없었다.

다만 Fig. 14 와 Fig. 15에表示된速度示數와混合速度는通氣量增加에 따라增加한다는結果만을얻었다.

Fig. 16에는混合示數와熱傳達係數와의關係를표시했는데混合示數  $\Omega^*$ 의增加에 따라熱傳達係數도增加하나  $\Omega^*=11$ 以上에서는熱傳達係數가一定值를갖

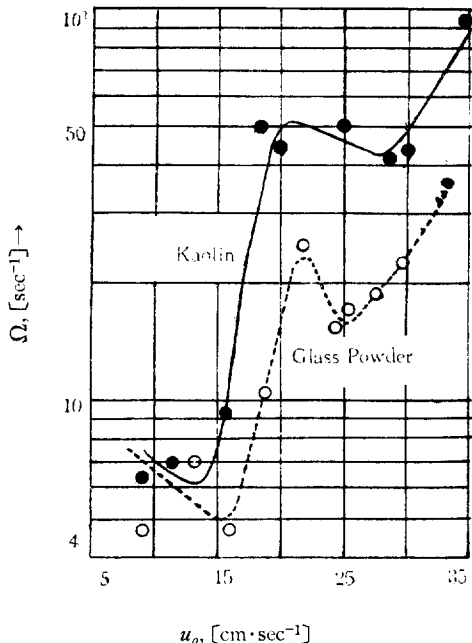


Fig. 14. Velocity Index vs  $u_o$

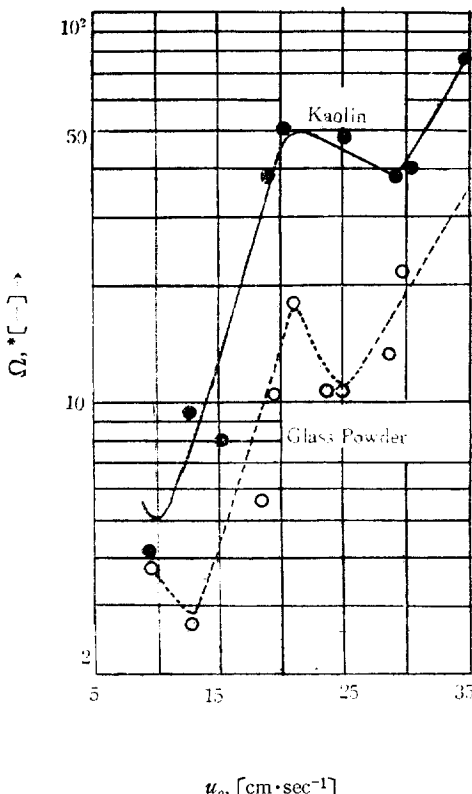


Fig. 15. Mixing Index vs  $u_o$

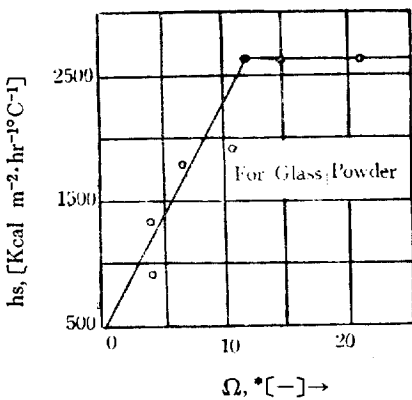


Fig. 16.  $hs$  vs  $\Omega^*$

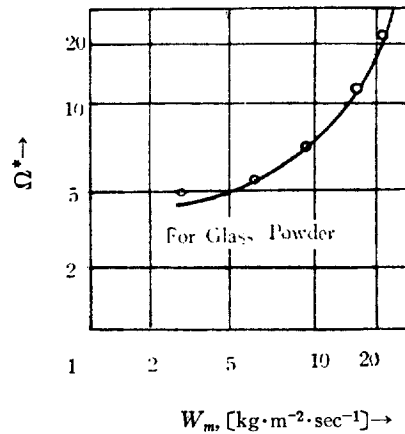


Fig. 18.  $\Omega^*$  vs  $W_m$

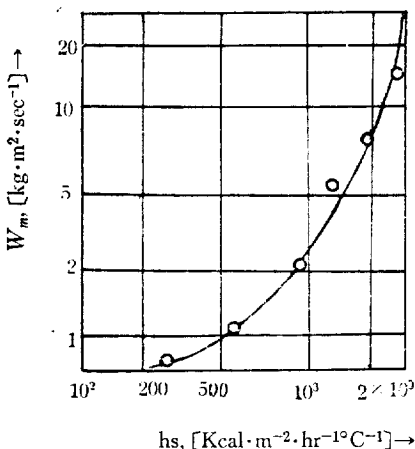


Fig. 17.  $\Omega^*$  and  $W_m$  vs  $hs$

는다. 이것은  $U_o=20 \text{ cm} \cdot \text{sec}$  以上에서  $h_s$  가一定值得를 갖는 것과相通하는 현상이다.

또한 Fig. 17 에는 混合速度  $W_m$  을 热傳達係數  $h_s$  에對해서, 그리고 Fig. 18 에는 混合示數  $\Omega^*$  를 混合速度  $W_m$  에 대해서 plot 했는데, 여기서도 어떤 特異한 關係는 찾을 수 없었다.

이와같은 點을 綜合的으로 考察해 볼 때 流動層의 傳熱特性, 混合特性, 그리고 隔壁의 開孔을 通한 氣體의 移動은 充填物인 流動化物質에 依한 영향보다 流動化 gas에 依한 영향이 支配的이라는 結論이 나온다.

이와 같이 流動層의 特性이 大部分 流動化 gas에 依해서 支配된다는 結論을 내린 것은 우리가 사용한 流動化 粒子에 關한 諸示數와 傳達特性이나 混合特性사

이에 關係가 없다는 點에서 나온 것이며, 다른 方向으로 流動 粒子의 特性을 規定짓고 이들과 流動層의 特性을 關聯시킨다면 어떤 關係가 있을지도 모르겠다.

그러나 우리는 이 粒子舉動檢知에서 粒子의 振動數를 求하였다(Fig. 12 참조). 本 實驗에 粒子라고 쓴 말은 Mickley & Fairband<sup>6)</sup> 等이 定義한 packet 라는 것과 同意語이므로 實際로는 packet 的 振動數를 求한 셈이다.

여기에서 이 packet 的 振動數와 热傳達係數, 그리고 混合速度에 對한 關係를 맺어 주므로써 이제껏 定性的取扱만 해온 packet 的 概念을 定量的으로 다루는 것이可能하게 되었다.

지금 packet 的 直徑을  $D_{pa}$ , 密度를  $\rho_m$ , 热容量을  $C_v$  라고 하면 그의 質量  $M_p=\rho_m(\pi D_{pa}^3/6)$  이고, 單位時間에 傳熱面  $A$ 에 충동하는 packet 的 數를  $n_m$  이라 하면,

$$n_m = \frac{6AW_A}{\rho_m \pi D_{pa}^3}, [\text{sec}^{-1}] \quad (5)$$

또한 packet 的 溫度를  $T_o$ , 傳熱體의 表面溫度를  $T_1$  이라 하면 傳熱面積  $A$ 를 通해서 packet 由 흘러 들어간 熱量  $q_m$  은,

$$q_m = n_m \left( \frac{\rho_m \pi D_{pa}^3}{6} \cdot C_v \right) \cdot (T_1 - T_o), [\text{kcal} \cdot \text{sec}^{-1}] \quad (6)$$

$$\text{단, } C_v = C(1 - \varepsilon_{mf})$$

(6)式으로 부터

$$h_s = n_m \left( \frac{\rho_m \pi D_{pa}^3}{6} \cdot C_v \right) \cdot 3600, [\text{kcal} \cdot \text{m}^{-2} \cdot \text{hr}^{-1} \cdot \text{C}^{-1}] \quad (7)$$

그리고 (5)式으로 부터

$$W_m = n_m \frac{\rho_m \pi D_{pa}^3}{6A}, [\text{kcal} \cdot \text{m}^{-2} \cdot \text{sec}^{-1}] \quad (8)$$

(7)式과 (8)式을 比較하면,

$$h_s = 3600 C_v W_m \quad [\text{kcal} \cdot \text{m}^{-2} \text{m}^{-1} \text{C}^{-1}] \quad (9)$$

또한 (7) or (8)式에서  $D_{pa}$ 를 求하면

$$\left. \begin{aligned} D_{pa}^3 &= \frac{6Ah_s}{3600\pi n_m \rho_m C_v}, [\text{m}^3] \\ \text{or} \\ D_{pa} &= \frac{6AW_m}{\pi n_m \rho_m}, [\text{m}^3] \end{aligned} \right\} \quad (10)$$

우리는 이 (10)式으로부터 packet의 크기를 求할 수 있는데 이에 앞서 이 식의 正當性부터 檢討해야 할 것이다. (9)式은 packet model을 展開하므로導出된 热傳達係數와 混合速度와의 關係式이므로 두 實測值을 代入했을 때 等號가 成立해야 할 것이다. Table 2에 그 結果를 보였는데,  $u_o = 10 \text{ cm} \cdot \text{sec}^{-1}$  以下에서는 대체로 許用할 수 있는範圍이나,  $10 \text{ cm} \cdot \text{sec}^{-1}$  以上에서의 差는 turbulence에 依한 影響으로 보아서 우리가 考察하고 있는 領域밖의 問題이므로 packet model에서導出한 모든 식들은 正當하다고 보는 것이 좋을 것이다.

Table 2. 實測熱傳達係數와  $hs = 3600 C_v \cdot W_m$  으로 計算된 값과의 比較

| $u_o$<br>[cm · sec <sup>-1</sup> ] | 實測 $h_s$<br>[kcal · m <sup>-2</sup> · hr <sup>-1</sup> · °C <sup>-1</sup> ] | 實測 $W_m$<br>[kg · m <sup>-2</sup> · sec <sup>-1</sup> ] | $h_s = 3600$<br>$C_v W_m$ |
|------------------------------------|---|---|---------------------------|
| 1                                  | 200   | 0.95  | 342                       |
| 3                                  | 430   | 1.30  | 468                       |
| 5                                  | 700   | 1.70  | 612                       |
| 7                                  | 920   | 2.30  | 768                       |
| 10                                 | 1,320   | 3.60  | 1,296                     |
| 15                                 | 1,920   | 8.00  | 2,880                     |
| 20                                 | 2,500   | 17.00   | 6,129                     |
| 30                                 | 2,500   | 30.00   | 10,800                    |

Fig. 12에서 packet의 振動數는 glass powder의 경 우 대략 10~20 사이에 있음으로 (10)式에 依해서 그의 直徑  $D_{pa}$ 를 求하면,

i)  $u_o = 10 \text{ cm} \cdot \text{sec}^{-1}$  일 때,  $n_m = 10$ ,  $W_m = 3.6$ , 또한  $A = 3.14 \times 10^{-4} \text{ m}^2$  이므로

$$D_{pa} = \frac{6(3.14 \times 10^{-4})(3.6)}{(3.14)(10)(2530)}$$

$$\therefore D_{pa} = 4.35 \times 10^{-3} \text{ m} \text{ or } 4.35 \text{ mm.}$$

ii)  $u_o = 1$  일 때  $n_m = 20$ ,  $W_m = 0.9$  이므로,

$$D_{pa}^3 = 1.13 \times 10^{-8} \text{ m}^3$$

$$\therefore D_{pa} = 2.24 \times 10^{-3} \text{ m} \text{ or } 2.24 \text{ mm.}$$

以上의 計算結果로부터 packet의 크기는 그 直徑이 2~5mm인 것을 알 수 있으며 이로써 한 packet 속에 들어 있는 粒子數, packet의 體積과 表面積, 全流動層內의 packet의 數等을 計算할 수 있게 되었다. 고로 이 packet를 着目하여 그의 運動을 流體力學的으로 해석하여 이를 傳熱機構나 混合特性을 究明하는데 適用시

킬 수 있는 좋은 展望이 보인다.

## 結論

Tracer technique로 檢知된 氣體의 舉動에 있어서는 流動層內 隔壁의 開孔을 通過해서 粉體는 잘 混合되고 있는데 反하여 流動化 gas의 混合은 잘 이루어 지지 않았다. 대개  $u_o/u_{mf} = 2$  以上에서는 two column 사이의 流動化 gas의 混合은 무시할 수 있어서 流動反應에서 要求되는 바와 같이 氣體는 piston flow 역할만 한다는 것이 實證된 것이다.

그리나 fluidized mixed bed에서는  $u_o/u_{mf} = 10$  程度까지 流動化 gas의 分流比가 상당히 크므로 觸媒에 反應 gas가 吸着을 要求하는 反應에서는 fluidized mixed bed가 有利할 것으로 생각된다. 그리고 이와같은 開孔을 通過한 gas의 移動(즉 分流比)이나 層中 gas의 retention time은 流動化 粉體에 依한 影響보다 流動化 gas에 依한 形狀이 더욱 크다.

또한  $u_o = 20 \text{ cm} \cdot \text{sec}^{-1}$  以上에서는 gas chro-recorder에 記錄된 peak型과 크기가 대개一定한 것으로 미루어 보아 이와같이 通氣量이 많은 경우에는 gas의 대부분이 層內를 그대로 通過해 버리고 少量의 gas만이 成長合流하여 大氣泡群을 이루면서 流動化에 參여하므로 이 범위 以上에서는 氣體의 通氣速度增加에 關係 없이 流動化 상태는 變態이 없게 되어 이때의 流動層의 热傳達係數나 粉粒體의 混合速度가 一定值를 갖게 된다고 解析할 수 있다.

다음 leak-current method에 依해서 檢知된 粒子舉動에 있어서는, 여기에서 認めた 流動層의 諸示數단으로는 傳熱機構나 混合特性을 解析할 수 없었으나, 粒子의 振動數를 얻으므로서 傳熱에 對한 packet model을 더욱 더 擴張할 수 있게 되었다. 즉 假想의 packet가 振動數로서 그의 크기를 計算할 수 있게 되어 이로써 packet의 體積과 表面積 그리고 全流動層內에 들어 있는 packet의 數等을 計算할 수 있음으로, 이 여러 因子들과 流動化 物質의 諸物性定數를 特徵지우면 더正確한 傳熱機構를 実明할 수 있으리라 믿는다.

## 記號說明

|            |  |   |
|------------|--|---|
| $A$ ;      | Heat transfer area                                       | [cm <sup>2</sup> ]                            |
| $a_1$ ;    | Tracer gas peak area of column I when shutter is closed  | [cm <sup>2</sup> ]                            |
| $a_{II}$ ; | Tracer gas peak area of column II when shutter is opened | [cm <sup>2</sup> ]                            |
| $C$ ;      | Heat capacity of the packet                              | [kcal · kg <sup>-1</sup> · °C <sup>-1</sup> ] |
| $C_s$ ;    | Slugging index   | [—]   |
| $C_v$ ;    | Heat capacity of the packet depend on the                |   |

|   |   |   |                       |
|---|---|---|-----------------------|
| superficial velocity of air   | [kcal·kg <sup>-1</sup> ·°C <sup>-1</sup> ]                  | $\sigma_t$ ; Standard deviation of the number of the packet frequency | [sec <sup>-1</sup> ]  |
| $D_{pa}$ ; Diameter of the packet   | [cm]  | $\epsilon_{mf}$ ; Minimum void fraction of fluidized bed              | [—]                   |
| $f$ ; Fractional flow ratio of fluidizing gases                             | [—]   | $\rho_m$ ; Density of the packet                                      | [g·cm <sup>-3</sup> ] |
| $h_s$ ; Heat transfer coefficient of the gas-solid fluidized bed            | [kcal·m <sup>-2</sup> ·hr <sup>-1</sup> ·°C <sup>-1</sup> ] | $\Omega$ ; Velocity index   | [sec <sup>-1</sup> ]  |
| $n_m$ ; Average frequency of the particle (or packet) per sec.              | [sec <sup>-1</sup> ]  | $\Omega^*$ ; Mixing index   | [—]                   |
| $q_m$ ; Rate of heat flow   | [kcal·hr <sup>-1</sup> ]                                    |   |                       |
| $R$ ; Radius of column  | [cm]  |   |                       |
| $r$ ; Radial distance of heat transfer element or sampling pipe             | [cm]  |   |                       |
| $S_m$ ; Distance from base line to average peak line mini-writer recorder   | [cm]  |   |                       |
| $\Delta s$ ; Difference between max and mini peak value                     | [cm]  |   |                       |
| $T_1$ ; Temperature of heat transfer element surface                        | [°B]  |   |                       |
| $T_o$ ; Temperature of the packet   | [°C]  |   |                       |
| $u_{mf}$ ; Minimum fluidization velocity                                    | [cm·sec <sup>-1</sup> ]                                     |   |                       |
| $u_o$ ; Superficial velocity of air based on cross sectional area of column | [cm·sec <sup>-1</sup> ]                                     |   |                       |
| $W_m$ ; Rate of mixing of the particle                                      | [kg·m <sup>-2</sup> ·sec <sup>-1</sup> ]                    |   |                       |

### 参考文献

- 1) Mickley H.S. and D.F. Fairbanks; J. Ama. In chem. 1 374 (1955)
- 2) 南宮寛, 柳慶玉; 화학공학 2, 82 (1964)
- 3) 柳慶玉; 漢陽大學校 大學院 碩士學位論文(1964.12)
- 4) 南宮寛·鄭雨昌; 화학공학 2 87 (1964)
- 5) 南宮, 新井, 進藤; 化學工學協會(日本) 24年會講 演要旨 p. 197 (1959)
- 6) 南宮 寛; 化學工學協會(日本) 總合 symposium 講演要旨 第二回 41 (1963)
- 7) 南宮 寛; 入門反應工學 pp. 237~242 工學圖書出版社刊(日本) (1963)
- 8) 小林晴夫; 化學工學協會(日本) 總合 symposium 講演要旨 第三回 45 (1964)
- 9) 古尾谷逸生; 東京工業大學, 修士學位論文 (1964)